

## KATA PENGANTAR

Terima kasih Tuhan Yesus Kristus karena anugerah dan kasih yang diberikan oleh-Mu, sehingga saya dapat menyelesaikan skripsi ini yang berjudul “Pengaruh Kepadatan dan Variasi Lokasi Tiang (*Pile*) terhadap Daya Dukung Tanah pada Pemodelan Fisik Lereng Pasir”.

Skripsi ini disusun untuk memenuhi syarat memperoleh gelar Sarjana Teknik, selain itu juga untuk menambah pengetahuan khususnya dalam bidang Geoteknik.

Pada kesempatan ini saya menyampaikan rasa terima kasih yang sebesar-besarnya kepada :

1. Ir. Sugeng P. Budio, MS dan Ir. Siti Nurlina, MT selaku Ketua Jurusan dan Sekretaris Jurusan yang membantu kelancaran skripsi ini.
2. Ir. As'ad Munawir, MT, dan Ir. Suroso, Dipl, HE, M. Eng sebagai dosen pembimbing atas segala arahan dan bimbingan yang telah diberikan.
3. Dr. Ir. Arief Rachmansyah, Ir. Widodo Suyadi, M.Eng, Dr. Eng. Yulvi Zaika, MT, Ir. Harimurti, MT dan Ir. Herlien Indrawahyuni sebagai dosen Geoteknik yang telah memberikan saran dan masukan pada skripsi ini.
4. Prof. Dr. Ir. Sri Murni Dewi, MS sebagai Kepala Laboratorium Struktur dan Konstruksi Bahan.
5. Bapak Sugeng dan Mas Dino sebagai pihak Laboratorium yang sangat membantu yang telah meminjamkan alat – alat penelitian.
6. Gita, Dita, Fatin, Mas Faried, Nanda, Emon, Mahendra

Dengan segala keterbatasan kemampuan tentunya skripsi ini jauh dari sempurna. Karena itu saran dan kritik yang membangun sangat diharapkan untuk kesempurnaan skripsi ini. Dan semoga skripsi ini membawa manfaat bagi kita semua.

Malang, Februari 2012

Penyusun

**DAFTAR ISI**

|  |      |
|--|------|
| <b>KATA PENGANTAR .....</b>  | i    |
| <b>DAFTAR ISI.....</b>   | ii   |
| <b>DAFTAR TABEL.....</b>   | vi   |
| <b>DAFTAR GAMBAR .....</b>   | viii |
| <b>DAFTAR LAMPIRAN.....</b>  | x    |
| <b>LEMBAR ORISINILITAS .....</b>   | xi   |
| <b>RINGKASAN .....</b>   | xiii |
| <b>BAB I PENDAHULUAN .....</b>   | 1    |
| 1.1 Latar Belakang .....   | 1    |
| 1.2 Identifikasi Masalah .....   | 3    |
| 1.3 Batasan Masalah.....   | 3    |
| 1.4 Rumusan Masalah .....  | 4    |
| 1.5 Tujuan Penelitian.....   | 4    |
| 1.6 Manfaat Penelitian.....  | 5    |
| <b>BAB II TINJAUAN PUSTAKA.....</b>                                      | 6    |
| 2.1 Tanah .....  | 6    |
| 2.1.1 Pengertian Tanah .....   | 6    |
| 2.1.2 Klasifikasi Tanah Berdasarkan Sistem <i>Unified</i> (U.S.C.S)..... | 6    |
| 2.2 Lereng ( <i>Slope</i> ).....   | 8    |
| 2.2.1 Pengertian Lereng .....  | 8    |
| 2.2.2 Pemodelan Fisik Lereng.....  | 8    |
| 2.3 Pondasi ( <i>Foundation</i> ) .....                                  | 8    |
| 2.3.1 Pengertian dan Jenis Pondasi .....                                 | 8    |
| 2.3.2 Pola Keruntuhan Pondasi .....                                      | 9    |
| 2.4 Daya Dukung Tanah ( <i>Bearing Capacity</i> ) .....                  | 11   |
| 2.5 Daya Dukung pada Tanah Datar .....                                   | 11   |
| 2.6 Daya Dukung Tanah pada Lereng Tanpa Perkuatan.....                   | 14   |
| 2.6.1 Metode Hansen .....  | 14   |
| 2.6.2 Metode Vesic.....  | 17   |
| 2.6.3 Metode GEO (1993) .....  | 17   |
| 2.6.4 Metode Meyerhoof .....   | 19   |
| 2.6.5 Metode Shields (1990) .....  | 22   |

|   |           |
|---|-----------|
| 2.7 Analisis Daya Dukung Tanah pada Lereng dengan Perkuatan <i>Pile</i> ..... | 24        |
| 2.8 Analisis <i>Bearing Capacity Improvement</i> (BCI) .....                  | 27        |
| <b>BAB III METODE PENELITIAN .....</b>  | <b>28</b> |
| 3.1 Waktu Dan Tempat Penelitian .....   | 28        |
| 3.2 Alat Dan Bahan Penelitian.....  | 28        |
| 3.3 Pengumpulan Data .....  | 29        |
| 3.4 Metode Penelitian.....  | 29        |
| 3.4.1 Uji Dasar .....   | 29        |
| 3.4.2 Persiapan Benda Uji.....  | 30        |
| 3.4.3 Model <i>Test</i> .....   | 30        |
| 3.4.4 Pengujian Pembebanan .....  | 33        |
| 3.5 Rancangan Percobaan.....  | 34        |
| 3.6 Variabel Penelitian .....   | 34        |
| 3.7 Analisis Data .....   | 35        |
| 3.7.1 Lereng Tanpa Perkuatan <i>Pile</i> .....                                | 35        |
| 3.7.2 Lereng dengan Perkuatan <i>Pile</i> .....                               | 35        |
| 3.8 Bagan Alir Tahapan Penelitian .....                                       | 36        |
| <b>BAB IV HASIL DAN PEMBAHASAN .....</b>                                      | <b>37</b> |
| 4.1 Analisis Bahan .....  | 37        |
| 4.1.1 Analisis Pemeriksaan Saringan .....                                     | 37        |
| 4.1.2 Analisis Pemeriksaan Berat Jenis .....                                  | 38        |
| 4.1.3 Analisis Pemeriksaan Kepadatan Tanah .....                              | 38        |
| 4.1.3.1 Kepadatan Tanah dengan Uji Standar <i>Proctor</i> .....               | 38        |
| 4.1.3.2 Kepadatan Tanah pada Uji Model.....                                   | 39        |
| 4.1.4 Pengujian <i>Direct Shear</i> .....                                     | 39        |
| 4.1.5 Analisis Pengujian Modulus Elastisitas Tanah .....                      | 42        |
| 4.1.6 Analisis Pengujian Modulus Elastisitas <i>Pile</i> .....                | 44        |
| 4.1.7 Pengujian Model.....  | 44        |
| 4.2 Hasil Pengujian .....   | 45        |
| 4.2.1 Lereng Tanpa Perkuatan .....  | 45        |
| 4.2.1.1 Lereng Tanpa Perkuatan untuk Kepadatan Relatif (Dr) = 74%.....        | 45        |
| 4.2.1.2 Lereng Tanpa Perkuatan untuk Kepadatan Relatif (Dr) = 88%.....        | 46        |

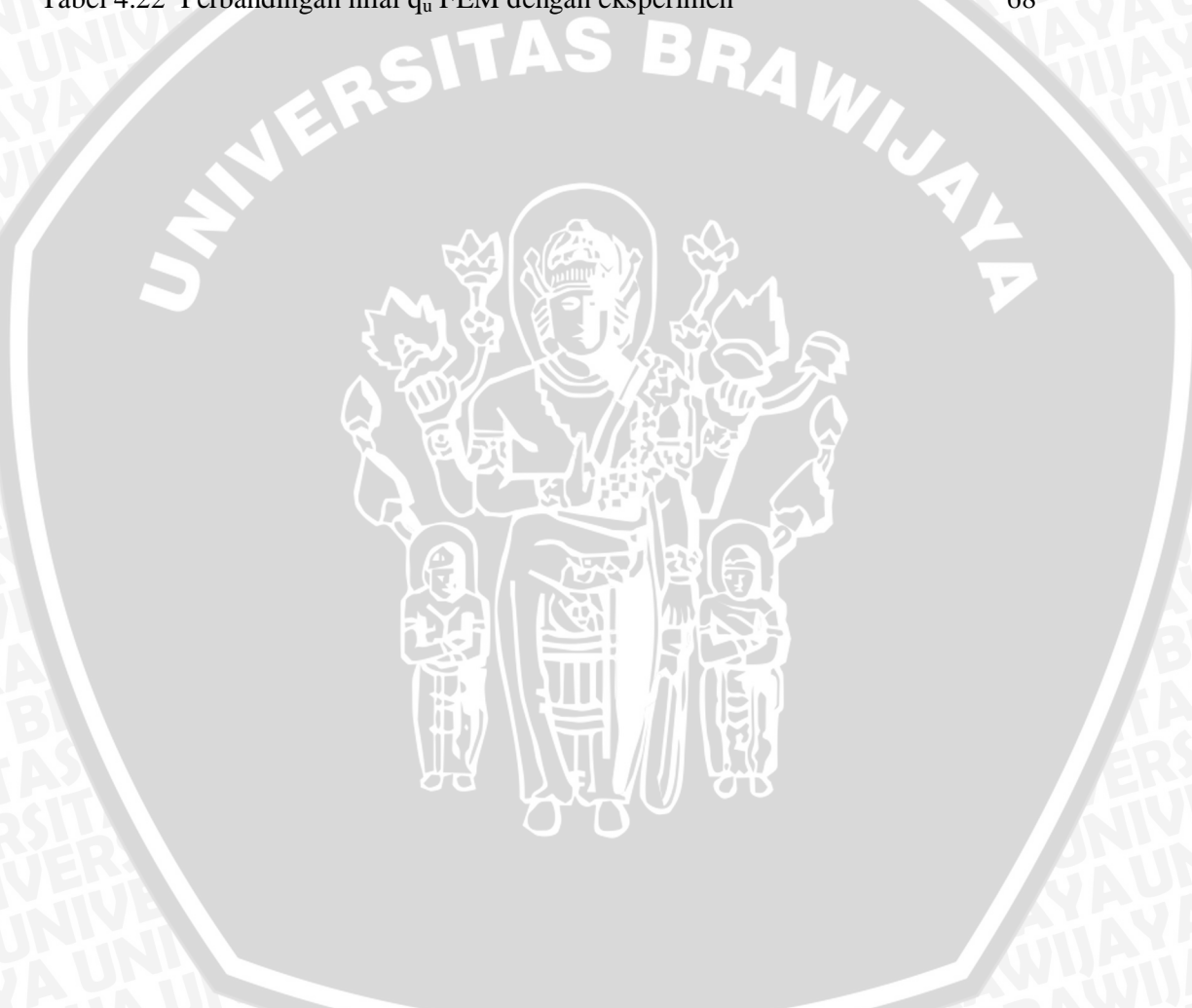
|   |    |
|---|----|
| 4.2.2 Lereng dengan Perkuatan .....   | 47 |
| 4.2.2.1 Lereng dengan Perkuatan untuk Kepadatan Relatif (Dr)<br>terhadap Lokasi Pile.....                                 | 47 |
| 4.2.2.2 Lereng dengan Perkuatan untuk Variasi Lokasi terhadap<br>Kepadatan Relatif (Dr) .....                             | 50 |
| 4.2.3 Hasil Pengujian Kepadatan dan Kadar Air .....   | 51 |
| 4.2.3.1 Hasil Pengujian Kepadatan dan Kadar Air untuk Variasi<br>Kepadatan Relatif (Dr) terhadap Lokasi <i>Pile</i> ..... | 51 |
| 4.2.3.2 Hasil Pengujian Kepadatan dan Kadar Air untuk Variasi<br>Lokasi <i>Pile</i> terhadap Kepadatan Relatif (Dr) ..... | 52 |
| 4.2.4 Analisis Daya Dukung Lereng dengan Analisis Numerik .....   | 52 |
| 4.3 Analisis Daya Dukung Lereng .....   | 53 |
| 4.3.1 Analisis Daya Dukung Lereng Tanpa Perkuatan untuk Kepadatan<br>Relatif (Dr) = 74% .....                             | 53 |
| 4.3.1.1 Analisis Daya Dukung dengan Analitik.....   | 53 |
| 4.3.1.2 Analisis Daya Dukung Hasil Ekperimen.....   | 54 |
| 4.3.1.3 Analisis Daya Dukung dengan FEM .....   | 54 |
| 4.3.2 Analisis Daya Dukung Lereng Tanpa Perkuatan untuk Kepadatan<br>Relatif (Dr) = 88% .....                             | 55 |
| 4.3.2.1 Analisis Daya Dukung dengan Analitik .....  | 55 |
| 4.3.2.2 Analisis Daya Dukung Hasil Ekperimen.....   | 55 |
| 4.3.2.3 Analisis Daya Dukung dengan FEM .....   | 56 |
| 4.3.3 Analisis Daya Dukung Lereng dengan Perkuatan untuk Kepadatan<br>Relatif (Dr) = 74% .....                            | 56 |
| 4.3.3.1 Analisis Daya Dukung dengan Perkuatan Hasil<br>Eksperimen.....  | 56 |
| 4.3.3.2 Analisis Daya Dukung dengan Perkuatan Hasil FEM .....   | 57 |
| 4.3.4 Analisis Daya Dukung Lereng dengan Perkuatan untuk Kepadatan<br>Relatif (Dr) = 88% .....                            | 58 |
| 4.3.4.1 Analisis Daya Dukung dengan Perkuatan Hasil<br>Eksperimen.....  | 58 |
| 4.3.4.2 Analisis Daya Dukung dengan Perkuatan Hasil FEM .....   | 59 |
| 4.3.5 Perbandingan Daya Dukung Lereng Tanpa Perkuatan dengan<br>Analitik, Eksperimen, dan FEM .....                       | 60 |

|   |           |
|---|-----------|
| 4.3.5.1 Kepadatan Relatif (Dr) = 74% .....  | 60        |
| 4.3.5.2 Kepadatan Relatif (Dr) = 88% .....  | 61        |
| 4.3.6 Analisis BCI ( <i>Bearing Capacity Improvement</i> ) .....                                    | 62        |
| 4.3.6.1 Perbandingan $BCI_u$ antara Hasil FEM dengan<br>Eksperimen .....                            | 62        |
| 4.3.6.2 Perbandingan $BCI_s$ untuk Kepadatan Relatif (Dr) = 74% ...                                 | 63        |
| 4.3.6.3 Perbandingan $BCI_s$ untuk Kepadatan Relatif (Dr) = 88% ...                                 | 64        |
| 4.3.7 Perbandingan Daya Dukung dengan Penurunan antara FEM dan<br>Eksperimen.....                   | 65        |
| 4.3.7.1 Kepadatan Relatif (Dr) = 74% .....  | 65        |
| 4.3.7.1 Kepadatan Relatif (Dr) = 88% .....  | 66        |
| 4.3.8 Pengaruh Kepadatan dan Variasi Lokasi <i>Pile</i> terhadap Daya<br>Dukung.....                | 66        |
| 4.3.9 Simulasi Nilai Modulus Tanah (E) Pada Plaxis untuk Pendekatan<br>dengan Hasil Eksperimen..... | 68        |
| <b>BAB V PENUTUP .....</b>  | <b>70</b> |
| 5.1 Kesimpulan .....  | 70        |
| 5.2 Saran .....   | 70        |
| <b>DAFTAR PUSTAKA .....</b>   | <b>72</b> |
| <b>LAMPIRAN.....</b>  | <b>75</b> |

**DAFTAR TABEL**

| No.        | Judul   | Halaman |
|------------|---|---------|
| Tabel 2.1  | Sistem klasifikasi <i>Unified</i> (U.S.C.S)   | 7       |
| Tabel 2.2  | Faktor daya dukung Hansen dan Vesic   | 15      |
| Tabel 2.3  | Faktor daya dukung GEO (1993)   | 18      |
| Tabel 2.4  | Tabel Nilai $N_{cq}$  | 21      |
| Tabel 2.5  | Tabel Nilai $N_{\gamma q}$  | 22      |
| Tabel 3.1  | Data variabel dari model lereng   | 34      |
| Tabel 4.1  | Data hasil pengujian berat jenis  | 38      |
| Tabel 4.2  | Nilai – nilai sudut dilatansi   | 42      |
| Tabel 4.3  | Nilai – nilai sudut geser dalam   | 42      |
| Tabel 4.4  | Nilai – nilai modulus elastisitas tanah   | 43      |
| Tabel 4.5  | Beban dan penurunan lereng tanpa perkuatan pada kepadatan relatif (Dr) = 74%                                | 45      |
| Tabel 4.6  | Beban dan penurunan lereng tanpa perkuatan pada kepadatan relatif (Dr) = 88%                                | 46      |
| Tabel 4.7  | Nilai $x/L$ untuk setiap lokasi perkuatan   | 47      |
| Tabel 4.8  | Beban maksimum untuk setiap variasi kepadatan relatif (Dr) terhadap lokasi <i>pile</i>                      | 50      |
| Tabel 4.9  | Beban maksimum untuk setiap variasi lokasi <i>pile</i> terhadap kepadatan relatif (Dr)                      | 50      |
| Tabel 4.10 | Nilai berat isi kering tanah dan kadar air untuk variasi kepadatan relatif (Dr) terhadap lokasi <i>pile</i> | 51      |
| Tabel 4.11 | Nilai berat isi kering tanah dan kadar air untuk variasi lokasi <i>pile</i> terhadap kepadatan relatif (Dr) | 52      |
| Tabel 4.12 | Parameter material yang digunakan pada analisis numerik   | 52      |
| Tabel 4.13 | Nilai perhitungan ekuivalen EA dan EI   | 53      |
| Tabel 4.14 | Nilai daya dukung lereng dengan persamaan analitik untuk kepadatan relatif (Dr) = 74%                       | 53      |
| Tabel 4.15 | Nilai daya dukung lereng dengan persamaan analitik untuk kepadatan relatif (Dr) = 88%                       | 55      |
| Tabel 4.16 | Nilai daya dukung lereng tanpa perkuatan pada kepadatan relatif (Dr) = 74%                                  | 60      |

|   |    |
|---|----|
| Tabel 4.17 Nilai daya dukung lereng tanpa perkuatan pada kepadatan relatif (Dr) = 88%             | 61 |
| Tabel 4.18 Nilai $BCI_u$ eksperimen untuk setiap kepadatan relatif (Dr) dengan posisi <i>pile</i> | 62 |
| Tabel 4.19 Nilai $BCI_u$ FEM untuk setiap kepadatan relatif (Dr) dengan posisi <i>pile</i>        | 62 |
| Tabel 4.20 Nilai $BCI_s$ pada kepadatan relatif (Dr) = 74%  | 64 |
| Tabel 4.21 Nilai $BCI_s$ pada kepadatan relatif (Dr) = 88%  | 64 |
| Tabel 4.22 Perbandingan nilai $q_u$ FEM dengan eksperimen   | 68 |



**DAFTAR GAMBAR**

| No.         | Judul  | Halaman |
|-------------|--|---------|
| Gambar 2.1  | <i>General shear failure</i>   | 9       |
| Gambar 2.2  | <i>Local shear failure</i>   | 10      |
| Gambar 2.3  | <i>Punching shear failure</i>  | 10      |
| Gambar 2.4  | Zona geser berdasarkan Teori Terzaghi  | 11      |
| Gambar 2.5  | Kurva penurunan terhadap beban   | 13      |
| Gambar 2.6  | Prosedur interpolasi linier untuk menentukan daya dukung ultimit pondasi dangkal di dekat lereng               | 16      |
| Gambar 2.7  | Pola keruntuhan pondasi di atas lereng   | 19      |
| Gambar 2.8  | Grafik nilai $N_{cq}$  | 20      |
| Gambar 2.9  | Grafik nilai $N_{vq}$  | 20      |
| Gambar 2.10 | Grafik persentase faktor lereng dengan kemiringan 2:1  | 24      |
| Gambar 2.11 | Grafik persentase daya dukung tanah datar untuk lereng dengan kemiringan 1,5 : 1                               | 24      |
| Gambar 2.12 | Transformasi nilai EI dan EA <i>pile</i> dan tanah   | 26      |
| Gambar 3.1  | Model lereng percobaan   | 31      |
| Gambar 3.2  | Model lereng dengan <i>pile</i> di tengah dan sudut 50°  | 31      |
| Gambar 3.3  | Model lereng tampak atas   | 32      |
| Gambar 3.4  | Detail <i>pile</i>   | 32      |
| Gambar 3.5  | Model susunan pembebahan   | 33      |
| Gambar 4.1  | Grafik pembagian ukuran butiran  | 37      |
| Gambar 4.2  | Hubungan antara berat isi kering dengan kadar air  | 39      |
| Gambar 4.3  | Grafik hubungan tegangan geser maksimum dengan tegangan normal maksimum pada lapisan 3 ( $Dr = 74$ )           | 40      |
| Gambar 4.4  | Grafik hubungan tegangan geser dengan regangan geser pada lapisan 3 ( $Dr = 74\%$ )                            | 41      |
| Gambar 4.5  | Grafik hubungan perpindahan vertikal dengan perpindahan horizontal lapisan 3 pada beban 0,4 kg ( $Dr = 74\%$ ) | 41      |
| Gambar 4.6  | Grafik berat isi kering tanah dengan jumlah tumbukan   | 44      |
| Gambar 4.7  | Model geometri lereng  | 45      |
| Gambar 4.8  | Posisi nilai x dan L   | 47      |
| Gambar 4.9a | Lereng dengan posisi <i>pile</i> di atas lereng  | 48      |

|             |   |    |
|-------------|---|----|
| Gambar 4.9b | Lereng dengan posisi <i>pile</i> di tengah atas lereng  | 48 |
| Gambar 4.9c | Lereng dengan posisi <i>pile</i> di tengah lereng   | 49 |
| Gambar 4.9d | Lereng dengan posisi <i>pile</i> di bawah lereng  | 49 |
| Gambar 4.10 | Grafik perbandingan $q_u$ dengan penurunan dan rasio penurunan  | 54 |
| Gambar 4.11 | Grafik perbandingan $q_u$ dengan penurunan dan rasio penurunan  | 54 |
| Gambar 4.12 | Grafik perbandingan $q_u$ dengan penurunan dan rasio penurunan  | 55 |
| Gambar 4.13 | Grafik perbandingan $q_u$ dengan penurunan dan rasio penurunan  | 56 |
| Gambar 4.14 | Grafik perbandingan $q_u$ dengan penurunan dan rasio penurunan  | 57 |
| Gambar 4.15 | Grafik perbandingan $q_u$ dengan penurunan dan rasio penurunan  | 58 |
| Gambar 4.16 | Grafik perbandingan $q_u$ dengan penurunan dan rasio penurunan  | 59 |
| Gambar 4.17 | Grafik perbandingan $q_u$ dengan penurunan dan rasio penurunan  | 59 |
| Gambar 4.18 | Perbandingan nilai daya dukung tanpa perkuatan  | 60 |
| Gambar 4.19 | Perbandingan nilai daya dukung tanpa perkuatan  | 61 |
| Gambar 4.20 | Perbandingan nilai $BCI_u$ FEM dengan eksperimen  | 63 |
| Gambar 4.21 | Grafik $BCI_s$ untuk setiap rasio penurunan   | 64 |
| Gambar 4.22 | Grafik $BCI_s$ untuk setiap rasio penurunan   | 65 |
| Gambar 4.23 | Perbandingan daya dukung dengan penurunan antara FEM dan eksperimen pada kepadatan relatif ( $Dr$ ) = 74% | 65 |
| Gambar 4.24 | Perbandingan daya dukung dengan penurunan antara FEM dan eksperimen pada kepadatan relatif ( $Dr$ ) = 88% | 66 |
| Gambar 4.25 | Perpindahan vektor untuk lereng tanpa perkuatan   | 67 |
| Gambar 4.26 | Perpindahan vektor untuk lereng dengan perkuatan <i>pile</i> pada posisi tengah atas                      | 67 |
| Gambar 4.27 | Perpindahan vektor untuk lereng dengan perkuatan <i>pile</i> pada posisi atas                             | 68 |
| Gambar 4.28 | Perbandingan daya dukung antara FEM dan eksperimen pada kepadatan relatif ( $Dr$ ) = 74%                  | 69 |
| Gambar 4.29 | Perbandingan daya dukung antara FEM dan eksperimen pada kepadatan relatif ( $Dr$ ) = 88%                  | 69 |

**DAFTAR LAMPIRAN**

| No.         | Judul   | Halaman |
|-------------|---|---------|
| Lampiran 1  | Data Hasil Pengujian Analisis Saringan                                    | 75      |
| Lampiran 2  | Data Hasil Kalibrasi Labu Ukur  | 76      |
| Lampiran 3  | Data Hasil Pengujian Kepadatan Standar <i>Proctor Test</i>                | 78      |
| Lampiran 4  | Data Hasil Pengujian <i>Direct Shear</i>                                  | 80      |
| Lampiran 5  | Data Hasil Nilai Modulus Elastisitas (E) Tanah dengan <i>Loading Test</i> | 114     |
| Lampiran 6  | Data Pengujian Elastisitas Bahan <i>Pile</i>                              | 116     |
| Lampiran 7  | Data Hasil Trial Error Jumlah Tumbukan                                    | 118     |
| Lampiran 8  | Perhitungan Daya Dukung dengan Analitik pada Lereng Tanpa Perkuatan       | 122     |
| Lampiran 9  | Data Kadar Air ( <i>Water Content</i> ) tiap Lapisan                      | 142     |
| Lampiran 10 | Data Kepadatan ( <i>Density</i> ) tiap Lapisan                            | 144     |
| Lampiran 11 | Data Beban, Penurunan, dan Nilai Daya Dukung berdasarkan Eksperimen       | 149     |
| Lampiran 12 | Perhitungan Transformasi EA dan EI  | 158     |
| Lampiran 13 | Data Beban, Penurunan, dan Nilai Daya Dukung berdasarkan Analisis FEM     | 160     |
| Lampiran 14 | Gambar Deformasi pada Lereng dengan Analisis FEM                          | 180     |

**PERNYATAAN  
ORISINALITAS SKRIPSI**

Saya menyatakan dengan sebenar-benarnya bahwa sepanjang sepengetahuan saya, di dalam naskah SKRIPSI ini tidak terdapat karya ilmiah yang pernah diajukan oleh orang lain untuk memperoleh gelar akademik di suatu Perguruan Tinggi, dan tidak terdapat karya atau pendapat yang pernah ditulis atau diterbitkan oleh orang lain, kecuali yang secara tertulis dikutip dalam naskah ini dan disebutkan dalam sumber kutipan dan daftar pustaka.

Apabila ternyata di dalam naskah SKRIPSI ini dapat dibuktikan terdapat unsur-unsur PLAGIASI, saya bersedia SKRIPSI ini digugurkan dan gelar akademik yang telah saya peroleh (SARJANA TEKNIK) dibatalkan, serta diproses sesuai dengan peraturan perundang-undangan yang berlaku (UU No. 20 Tahun 2003 Pasal 25 Ayat 2 dan Pasal 70)



Malang, Maret 2012

Mahasiswa,

Nama : Batara Bima  
NIM : 0710610033  
Jurusan : TEKNIK SIPIL

Almost 4,5 years in malang to reach my future to become civil enggineering. Many memories, challenge, difficulties until I've done my study and process my character building. Thank you my Lord Jesus Christ, When I fall you raise me, when I lost my hope , weary you strength me you gave best people in arround me. I can do all things through christ who strengthens me (Philp 4 :13). Only by your grace not because my strength.

I would special thanks to my parents, rini, my lil' brother chris, Aruan's family, Pangaribuan's family, lodimeda kini. Thank you so much for support, pray, and love. I love you all. You're part of the most important in my life.

Thank you Om suroyo's family for your kindness and you received me to be your family especially to be your son.

My friend's Dodi, robert, aris, robie, you're not only just my best friend but you're my brother thank u so much for all support. I'll miss u dude Many memories with all of you, hahahah.....

PMK YEHEZKIEL where I found family, great people, I can learned many thing in here this honour to me to be part of PMK YEHEZKIEL.

Sorry if I can't said one of one too many great people, but I remember all of you Thank you so much.

With sincerely, Thank you so much.

## RINGKASAN

Batara Bima, Teknik Sipil, Fakultas Teknik, Universitas Brawijaya, Februari 2012, *Pengaruh Kepadatan dan Variasi Lokasi Tiang (Pile) Terhadap Daya Dukung Tanah Pada Pemodelan Fisik Lereng Pasir*, Dosen Pembimbing : Ir. Widodo Suyadi, M.Eng dan Ir. Suroso, Dipl.He, M.eng.

Semua struktur atau bangunan pasti dibangun di atas tanah, sehingga diperlukan tanah yang mampu menahan beban struktur atau bangunan tersebut. Baik buruknya suatu tanah tergantung pada kekuatan (*strength*) dan stabilitas (*stability*). Kekuatan tanah merupakan ketidakmampulayanan suatu tanah untuk menahan geser. Dalam hal ini struktur atau bangunan tersebut tidak boleh runtuh. Sedangkan tanah erat kaitannya dengan penurunan (*settlement*), dalam hal ini struktur atau bangunan tersebut tidak boleh berpindah dan tidak mengalami penurunan yang berbeda (*different settlement*) maupun penurunan yang berlebihan serta tidak mengalami rotasi. Ada kalanya pondasi harus dibangun di permukaan lereng (*on face of slope*) atau di atas lereng (*on top of slope*). Hal tersebut dikarenakan struktur atau bangunan memang harus dibangun di daerah yang tidak rata, atau bisa juga dikarenakan keterbatasan lahan datar (*plain ground*). Masalah yang akan timbul ketika suatu pondasi harus dibangun di permukaan lereng atau di atas lereng adalah penurunan daya dukung (*bearing capacity*) tanah. Untuk mencegah terjadinya kegagalan pada pondasi maka perlu diadakan investigasi terhadap kondisi daya dukung tanah dari suatu jenis tanah. Salah satu teknik perkuatan lereng yang digunakan dengan menggunakan *pile*. Tujuan pemasangan *pile* pada bagian lereng untuk menahan pergerakan tanah yang menuju ke arah lereng guna meningkatkan kemampuan kekuatan geser lereng. Maka dari itu perlu diadakan penelitian untuk mengetahui seberapa besar pengaruh perkuatan pile terhadap daya dukung yang terjadi pada lereng. Dalam penelitian ini digunakan pasir yang berasal dari Lumajang dengan pasir bergradasi kasar dan *pile* dengan tulangan bambu komposit dengan variasi kepadatan dan lokasi penempatan perkuatan. Penelitian ini menggunakan bak uji berukuran panjang 1,50 m, lebar 1,0 m, dan panjang 1,0 m. Pembebanan dilakukan dengan memberikan beban secara bertahap sampai pemodelan mengalami keruntuhan. Dari hasil penelitian yang dilakukan bahwa perkuatan pile mampu untuk meningkatkan daya dukung secara signifikan, dengan mengetahui letak posisi perkuatan yang paling baik maka akan menghasilkan daya dukung yang optimum. Pengaruh kepadatan juga memegang peranan penting untuk meningkatkan kekuatan geser pada tanah. Analisis *finite element method* (FEM) digunakan untuk membantu mengerti perilaku tanah yang terjadi .

Kata-kata kunci: Perkuatan lereng, *pile* dengan tulangan bambu komposit, *bearing capacity improvement*, *Finite element method* (FEM).